

# **Dynamische Auslegung von Werkzeugmaschinen, Roboter und Bewegungsachsen**

*Aufgabe Hausarbeit*

vorgelegt von

Anmar Al-Masoudi

Studiengang

Advanced Precision Engineering

Semester

Sommersemester 2018

Dozent

Prof. Dr.-Ing. Gunter Ketterer

Eingereicht am 13. Juli 2018

---

## Inhaltsverzeichnis

Aufgabe 1 .....	1
a) Bestimmung des Arbeitsraumes .....	1
b) Schematische Ersatzschaltbild des Roboters in Symboldarstellung.....	3
c) Denavit-Hartenberg Parameter .....	4
d) Bestimmung der Gesamttransformation $T = {}^{0A}A_4$ .....	4
e) Bestimmung der Variablen durch Rücktransformation .....	5
f) Auswirkung von Temperaturveränderungen auf Lage und Orientierung .....	8
Aufgabe 2: JACOBI Matrix .....	10
Aufgabe 3.1: Bewegungsgleichung nach Lagrange.....	15
Aufgabe 3.2: Bewegungsverhalten mit Hilfe von Simulink .....	23

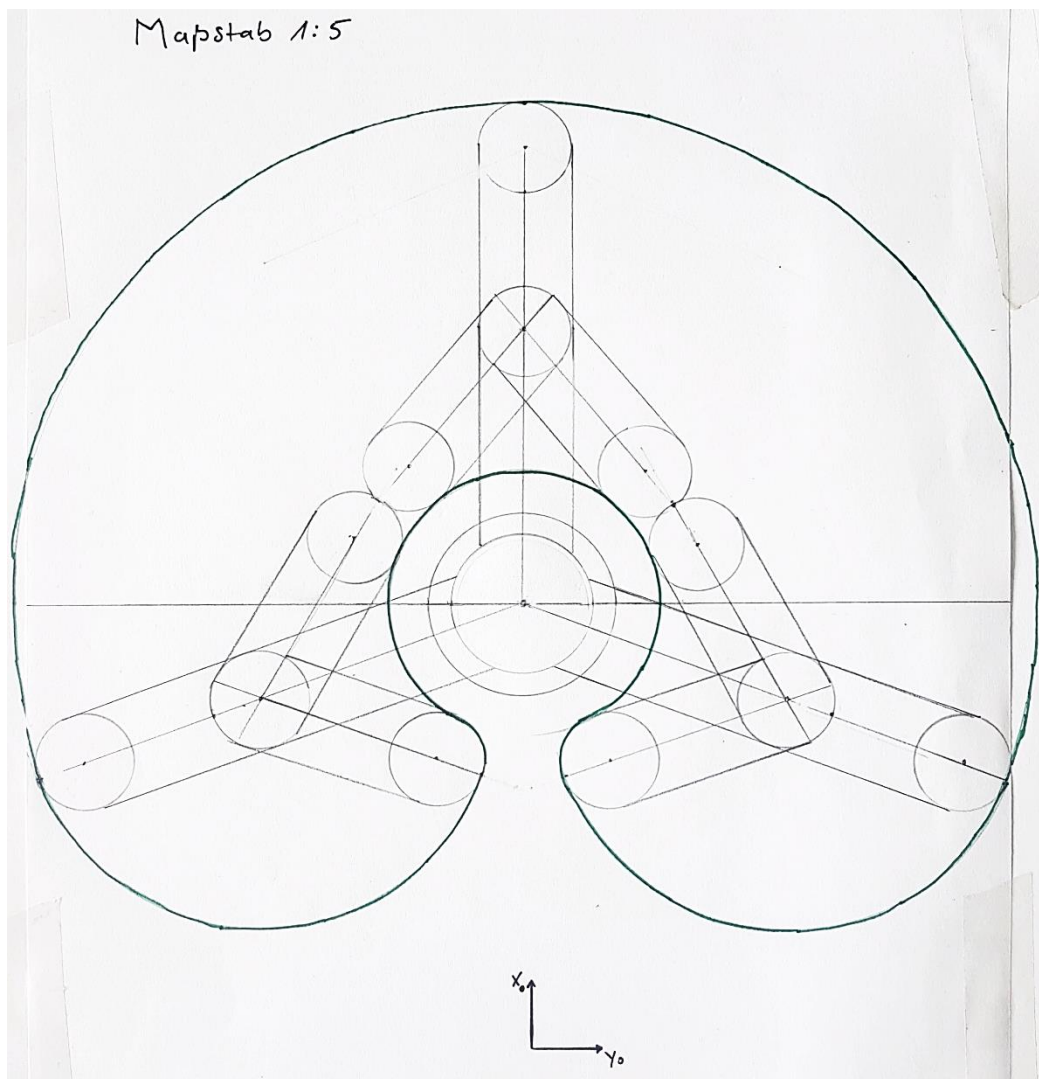
---

## Aufgabe 1

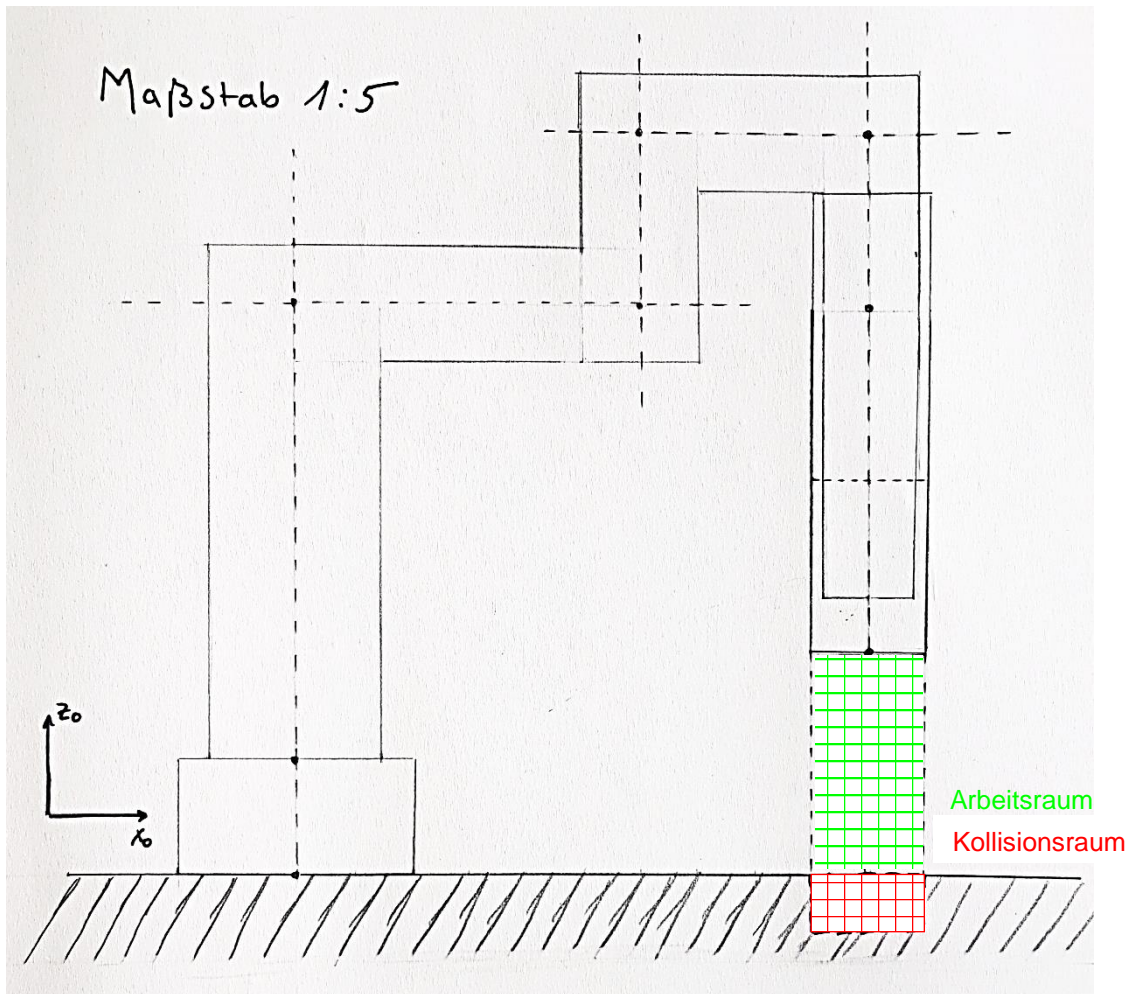
### a) Bestimmung des Arbeitsraumes

Bestimmen Sie zunächst zeichnerisch den Arbeitsraum in der  $x_0$ - $z_0$  sowie  $x_0$ - $y_0$  Ebene und prüfen Sie mögliche Kollisionsräume, die Sie entsprechend grafisch kennzeichnen.

Darstellung des Arbeitsraums in der  $x_0 - y_0$  Ebene im Maßstab 1:5

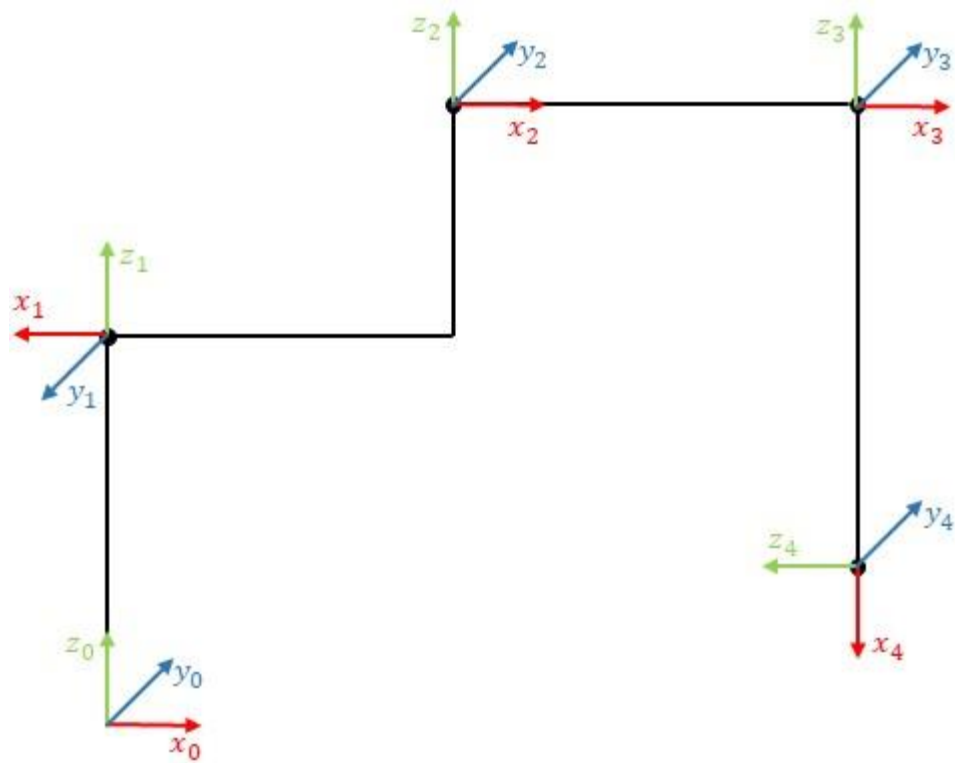
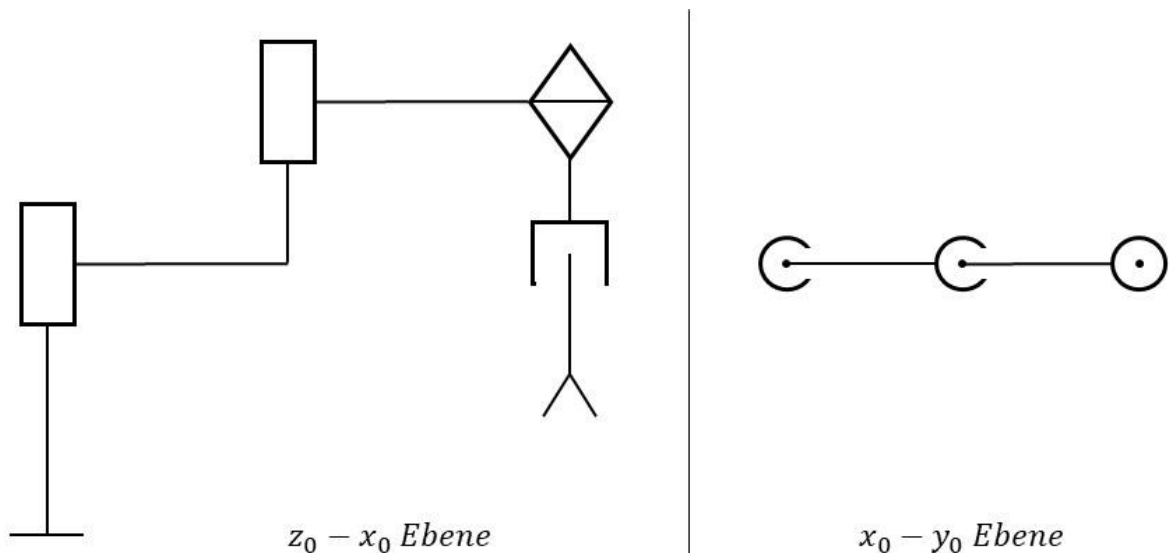


Darstellung des Arbeitsraums in der  $z_0 - x_0$  Ebene im Maßstab 1:5



b) Schematische Ersatzschaltbild des Roboters in Symboldarstellung

Zeichnen Sie das schematische Ersatzbild des Roboters in Symboldarstellung mit den entsprechenden Koordinatensystemen nach Denavit Hartenberg in den mit „•“ gekennzeichneten Gelenkpunkten. (Hinweis: Gehen Sie dabei gemäß der Vorgehensweise nach Denavit Hartenberg wie im Skript von APE-„Dynamische Auslegung von Werkzeugmaschinen und Roboterachsen“ beschrieben vor.



### c) Denavit-Hartenberg Parameter

Bestimmen Sie die DH-Parameter in allen 4 Achsgelenkpunkten und leiten Sie daraus die Einzeltransformationsmatrizen  ${}^0A_1$ ,  ${}^1A_2$ ,  ${}^2A_3$  und  ${}^3A_4$  in Abhängigkeit der Achsvariablen  $\varphi_1; \varphi_2; \varphi_3$  und  $H_4$  ab.

Falls notwendig sind ebenfalls die angegebenen Robotergrößen (z.B.  $H_S$ ,  $L_0$ ,  $L_1$ ,  $L_2$ ,  $D_1$ , etc.) ohne Werte mit zu verwenden.

Trans- formationen \ AKS	$\alpha$	L	D	$\varphi$
${}^0A_1$	$0^\circ$	0	$L_0 + H_S$	$180^\circ$
${}^1A_2$	$0^\circ$	$L_1$	$D_1$	$180^\circ + \varphi_2$
${}^2A_3$	$0^\circ$	$L_2$	0	$\varphi_2$
${}^3A_4$	$180^\circ$	0	$-D_1 - H_4$	$180^\circ + \varphi_3$

### d) Bestimmung der Gesamttransformation $T = {}^0A_4$

Bestimmen Sie die Gesamttransformation  $T = {}^0A_4$  in allgemeiner Darstellung in Abhängigkeit der Achsvariablen und geometrischen Robotergrößen (ohne Werte).

Mithilfe der homogenen Transformationsmatrix (DH-Matrix) können die Einzeltransformationen bestimmt werden und anschließend die Gesamtmultiplikation bestimmt werden.

$$\bar{A} = \text{rot}(\varphi_z) \cdot \text{trans}(D_z) \cdot \text{trans}(L_x) \cdot \text{rot}(\alpha_x) = \begin{bmatrix} C_\varphi & -C_\alpha \cdot S_\varphi & S_\alpha \cdot S_\varphi & L \cdot C_\varphi \\ S_\varphi & C_\alpha \cdot C_\varphi & -S_\alpha \cdot C_\varphi & L \cdot S_\varphi \\ 0 & S_\alpha & C_\alpha & D \\ 0 & 0 & 0 & 1 \end{bmatrix} = \overline{DH}$$

mit

$$C_\varphi = \cos(\varphi); C_\alpha = \cos(\alpha); S_\varphi = \sin(\varphi); S_\alpha = \sin(\alpha)$$

$$\cos(x + y) = \cos(x) \cdot \cos(y) - \sin(x) \cdot \sin(y)$$

$$\sin(x + y) = \sin(x) \cdot \cos(y) + \cos(x) \cdot \sin(y)$$

Daraus ergeben sich folgende Einzeltransformationen

${}^0A_1 = \begin{bmatrix} -1 & 0 & 0 & 0 \\ 0 & -1 & 0 & 0 \\ 0 & 0 & 1 & H_S + L_0 \\ 0 & 0 & 0 & 1 \end{bmatrix}$	${}^1A_2 = \begin{bmatrix} -C_1 & S_1 & 0 & -L_1 \cdot C_1 \\ -S_1 & -C_1 & 0 & -L_1 \cdot S_1 \\ 0 & 0 & 1 & D_1 \\ 0 & 0 & 0 & 1 \end{bmatrix}$
${}^2A_3 = \begin{bmatrix} C_2 & -S_2 & 0 & L_2 \cdot C_2 \\ S_2 & C_2 & 0 & L_2 \cdot S_2 \\ 0 & 0 & 1 & 0 \\ 0 & 0 & 0 & 1 \end{bmatrix}$	${}^3A_4 = \begin{bmatrix} -C_3 & -S_3 & 0 & 0 \\ -S_3 & C_3 & 0 & 0 \\ 0 & 0 & -1 & -D_1 - H_4 \\ 0 & 0 & 0 & 1 \end{bmatrix}$

Durch die Multiplikation der Einzeltransformationen erhält man die Gesamttransformationsmatrix  $T$

$$T = {}^0A_4 = {}^0A_1 \cdot {}^1A_2 \cdot {}^2A_3 \cdot {}^3A_4$$

$$T = {}^0A_4 = \begin{bmatrix} -C_{123} & -S_{123} & 0 & L_2 \cdot C_{12} + L_1 \cdot C_1 \\ -S_{123} & C_{123} & 0 & L_2 \cdot S_{12} + L_1 \cdot S_1 \\ 0 & 0 & -1 & H_S - H_4 + L_0 \\ 0 & 0 & 0 & 1 \end{bmatrix}$$

### e) Bestimmung der Variablen durch Rücktransformation

Bestimmen Sie die Achsvariablen  $\varphi_1; \varphi_2; \varphi_3$  und  $H_4$  mit Hilfe der Rückwärtstransformation in Abhängigkeit der notwendigen geometrischen Robotergrößen (z.B.  $H_S, L_0, L_1, L_2, D_1$ , etc.) und einer allgemein angenommenen TCP-Stellung und TCP-Orientierung (TCP-Orientierungsvektoren  $\mathbf{n}$ ,  $\mathbf{u}$ ,  $\mathbf{a}$  sowie dem TCP-Stellungsvektor  $\mathbf{p}$  bezogen auf das Basiskoordinatensystem).

Die Roboterstellung lautet:

$${}^0A_{4\ best} = \begin{bmatrix} n_x & u_x & a_x & p_x \\ n_y & u_y & a_y & p_y \\ n_z & u_z & a_z & p_z \\ 0 & 0 & 0 & 1 \end{bmatrix}$$

mit  ${}^0A_{4\ best} = {}^0A_1 \cdot {}^1A_2 \cdot {}^2A_3 \cdot {}^3A_4$

Durch die bestimmte Roboterstellung lassen sich mit Hilfe der Rückwärtstransformationen folgende Achsvariablen bestimmen:  $\varphi_1; \varphi_2; \varphi_3; H_4$

$$\begin{bmatrix} n_x & u_x & a_x & p_x \\ n_y & u_y & a_y & p_y \\ n_z & u_z & a_z & p_z \\ 0 & 0 & 0 & 1 \end{bmatrix} = \begin{bmatrix} -C_{123} & -S_{123} & 0 & L_2 \cdot C_{12} + L_1 \cdot C_1 \\ -S_{123} & C_{123} & 0 & L_2 \cdot S_{12} + L_1 \cdot S_1 \\ 0 & 0 & -1 & H_5 - H_4 + L_0 \\ 0 & 0 & 0 & 1 \end{bmatrix}$$

$$p_x = L_2 \cdot C_{12} + L_1 \cdot C_1$$

$$p_y = L_2 \cdot S_{12} + L_1 \cdot S_1$$

$$\text{Index } 1, 2, 3, \dots = \varphi_{1,2,3,\dots}; C_{123} = \cos(\varphi_1 + \varphi_2 + \varphi_3)$$

Bestimmung der Achsvariable  $\varphi_2$

$$C_2 = \frac{p_x^2 + p_y^2 - L_2^2 - L_1^2}{2 \cdot L_1 \cdot L_2}$$

$$\varphi_2 = \tan^{-1} \left( \frac{\sqrt{1 - C_2^2}}{C_2} \right)$$

Bestimmung der Achsvariable  $\varphi_1$

$$S_1 = \frac{p_y \cdot (L_2 \cdot C_2 + L_1) - p_x \cdot L_2 \cdot S_2}{(L_2 \cdot C_2 + L_1)^2 + L_2^2 \cdot S_2^2}$$

$$C_1 = \frac{p_x \cdot (L_2 \cdot C_2 + L_1) + p_y \cdot L_2 \cdot S_2}{(L_2 \cdot C_2 + L_1)^2 + L_2^2 \cdot S_2^2}$$

$$\varphi_1 = \tan^{-1} \left( \frac{p_y \cdot (L_2 \cdot C_2 + L_1) - p_x \cdot L_2 \cdot S_2}{p_x \cdot (L_2 \cdot C_2 + L_1) + p_y \cdot L_2 \cdot S_2} \right)$$

Um  $H_4$  zu bestimmen, wird durch die Multiplikation von der Inverse  ${}^0A_1$  der Ausdruck auf die linke Seite der Gleichung gebracht

$${}^0A_{4 \text{ best}} = {}^0A_1 \cdot {}^1A_2 \cdot {}^2A_3 \cdot {}^3A_4 \quad | \cdot ({}^0A_1)^{-1}$$

$${}^0A_{4 \text{ best}} \cdot ({}^0A_1)^{-1} = {}^1A_2 \cdot {}^2A_3 \cdot {}^3A_4$$



$$\begin{bmatrix} -n_x & -u_x & -a_x & -p_x \\ -n_y & -u_y & -a_y & -p_y \\ n_z & u_z & a_z & p_z - L_0 - H_S \\ 0 & 0 & 0 & 1 \end{bmatrix} = \begin{bmatrix} C_{123} & S_{123} & 0 & -L_2 \cdot C_{12} - L_1 \cdot C_1 \\ S_{123} & -C_{123} & 0 & -L_2 \cdot S_{12} - L_1 \cdot S_1 \\ 0 & 0 & -1 & -H_4 \\ 0 & 0 & 0 & 1 \end{bmatrix}$$

$$-H_4 = p_z - L_0 - H_S$$

$$\mathbf{H}_4 = \mathbf{H}_S + \mathbf{L}_0 - \mathbf{p}_z$$

Bestimmung von  $\varphi_3$  durch Multiplikation der Inversen von  ${}^1A_2$  und anschließender Multiplikation der neuen Matrix mit der Inversen von  ${}^2A_3$

$${}^0A_{4\ best} \cdot ({}^0A_1)^{-1} = {}^1A_2 \cdot {}^2A_3 \cdot {}^3A_4 \quad | \cdot ({}^1A_2)^{-1}$$

$${}^0A_{4\ best} \cdot ({}^0A_1)^{-1} \cdot ({}^1A_2)^{-1} = {}^2A_3 \cdot {}^3A_4$$

$$\begin{bmatrix} n_x \cdot C_{12} + n_y \cdot S_{12} & u_x \cdot C_{12} + u_y \cdot S_{12} & a_x \cdot C_{12} + a_y \cdot S_1 & L_1 + p_x \cdot C_{12} + p_y \cdot S_{12} - L_2 \cdot C_1 \\ n_y \cdot C_{12} - n_x \cdot S_{12} & u_y \cdot C_{12} - u_x \cdot S_{12} & a_y \cdot C_{12} - a_x \cdot S_1 & p_y \cdot C_{12} - p_x \cdot S_{12} + L_2 \cdot S_{12} \\ n_z & u_z & a_z & p_z - L_0 - H_S - D_1 \\ 0 & 0 & 0 & 1 \end{bmatrix}$$

$$= \begin{bmatrix} -C_3 & -S_3 & 0 & 0 \\ -S_3 & C_3 & 0 & 0 \\ 0 & 0 & -1 & -D_1 - H_4 \\ 0 & 0 & 0 & 1 \end{bmatrix}$$

$${}^0A_{4\ best} \cdot ({}^0A_1)^{-1} \cdot ({}^1A_2)^{-1} = {}^2A_3 \cdot {}^3A_4 \quad | \cdot ({}^2A_3)^{-1}$$

$${}^0A_{4\ best} \cdot ({}^0A_1)^{-1} \cdot ({}^1A_2)^{-1} \cdot ({}^2A_3)^{-1} = {}^3A_4$$

$$-C_3 = n_x \cdot C_{12} + n_y \cdot S_{12}$$

$$-S_3 = n_y \cdot C_{12} - n_x \cdot S_{12}$$

$$\frac{-C_3}{-S_3} = \frac{n_x \cdot C_{12} + n_y \cdot S_{12}}{n_y \cdot C_{12} - n_x \cdot S_{12}} \quad \rightarrow \quad \frac{1}{T_3} = \frac{n_x \cdot C_{12} + n_y \cdot S_{12}}{n_y \cdot C_{12} - n_x \cdot S_{12}}$$

$$T_3 = \frac{n_y \cdot C_{12} - n_x \cdot S_{12}}{n_x \cdot C_{12} + n_y \cdot S_{12}}$$

$$\varphi_3 = \tan^{-1} \left( \frac{n_y \cdot C_{12} - n_x \cdot S_{12}}{n_x \cdot C_{12} + n_y \cdot S_{12}} \right)$$

f) Auswirkung von Temperaturveränderungen auf Lage und Orientierung

Während der Produktion verändert sich die Temperatur von morgens  $T_0=20^\circ\text{C}$  auf abends  $T_1=30^\circ\text{C}$ .

Die Endeffektor-Stellung liegt zu Arbeitsbeginn bei:

- den auf das 0. Koordinatensystem bezogenen Positionskoordinaten  
 **$p = (400\text{mm}, 100\text{mm}, 50\text{mm})$**

und

- den im 0. Koordinatensystem beschriebenen Greiferorientierung mit den 3 Orientierungsvektoren  **$n$ ,  $u$  und  $a$**  mit:

$$\mathbf{n} = (\cos(30^\circ); \sin(30^\circ); 0)^T,$$

$$\mathbf{u} = (\cos(60^\circ); -\sin(60^\circ); 0)^T \text{ und}$$

$$\mathbf{a} = (0; 0; -1)^T:$$

Hierbei gilt für das temperaturabhängige Achsverhalten in der Länge:

$$\Delta L = L \cdot e^{\alpha \cdot \Delta T} \text{ mit dem Temperaturkoeffizienten } \alpha_{ALU} = 23,1 \cdot 10^{-6} \text{ K}^{-1}$$

Welche Auswirkung hat dies auf die Lage und Orientierung (d.h. die Positionier- und Winkelabweichungen) des End-Effektors gegenüber der Stellungssituation bei Produktionsbeginn.

Welche Achskorrekturen sind am Abend steuerungstechnisch in den Achsvariablen  $\varphi_1; \varphi_2; \varphi_3$  und  $H_4$  vorzunehmen, damit die gleiche Stellung wie bei Arbeitsbeginn erreicht werden kann.

Eine Temperaturveränderung (hier  $T_0 = 20^\circ\text{C}$  auf  $T_1 = 30^\circ\text{C}$ ) bewirkt eine Ausdehnung der Materialien/Achsen des Roboters und folglich eine Verschiebung des TCPs. Um diese Verschiebung auszugleichen und die Position des TCPs zu gewährleisten, müssen die Achsstellungen nachjustiert werden.

Die Achsstellungen für die Ausgangstemperatur ergibt sich aus dem Einsetzen der gegebenen Zahlenwerte aus der Aufgabenstellung:

$$\varphi_1 = \tan^{-1} \left( \frac{p_y \cdot (L_2 \cdot C_2 + L_1) - p_x \cdot L_2 \cdot S_2}{p_x \cdot (L_2 \cdot C_2 + L_1) + p_y \cdot L_2 \cdot S_2} \right) = -13,1787^\circ$$

$$\varphi_2 = \tan^{-1} \left( \frac{\sqrt{1 - C_2^2}}{C_2} \right) = 70,5288^\circ$$

$$\varphi_3 = \tan^{-1} \left( \frac{n_y \cdot C_{12} - n_x \cdot S_{12}}{n_x \cdot C_{12} + n_y \cdot S_{12}} \right) = -27,3501^\circ$$

$$H_4 = H_S + L_0 - p_z = 450 \text{ mm}$$

Für die Achslängen L und H ergeben sich folgende Werte (für  $L_0, L_1, L_2$  und  $H_S$  mit  $\alpha_{ALU} = 23,1 \cdot 10^{-6} \text{ K}^{-1}$ ) und Differenzen:

$$L_{0 \text{ T30}} = L_0 \cdot e^{23,1 \cdot 10^{-6} \text{ K}^{-1} \cdot 10 \text{ K}} = 400,0924 \text{ mm} \quad \Delta L_0 = L_{0 \text{ T30}} - L_0 = 0,0924 \text{ mm}$$

$$L_{1 \text{ T30}} = L_1 \cdot e^{23,1 \cdot 10^{-6} \text{ K}^{-1} \cdot 10 \text{ K}} = 300,0693 \text{ mm} \quad \Delta L_1 = L_{1 \text{ T30}} - L_1 = 0,0693 \text{ mm}$$

$$L_{2 \text{ T30}} = L_2 \cdot e^{23,1 \cdot 10^{-6} \text{ K}^{-1} \cdot 10 \text{ K}} = 200,0462 \text{ mm} \quad \Delta L_2 = L_{2 \text{ T30}} - L_2 = 0,0462 \text{ mm}$$

$$H_{S \text{ T30}} = H_S \cdot e^{23,1 \cdot 10^{-6} \text{ K}^{-1} \cdot 10 \text{ K}} = 100,0231 \text{ mm} \quad \Delta H_S = H_{S \text{ T30}} - H_S = 0,0231 \text{ mm}$$

Mit den neuen Achslängen können nun die neuen Winkel berechnet werden.

$$\varphi_{1 \text{ T30}} = \tan^{-1} \left( \frac{p_y \cdot (L_{2 \text{ T30}} \cdot C_2 + L_{1 \text{ T30}}) - p_x \cdot L_{2 \text{ T30}} \cdot S_2}{p_x \cdot (L_{2 \text{ T30}} \cdot C_2 + L_{1 \text{ T30}}) + p_y \cdot L_{2 \text{ T30}} \cdot S_2} \right) = -13,1932^\circ$$

$$\varphi_{2 \text{ T30}} = \tan^{-1} \left( \frac{\sqrt{1 - C_2^2}}{C_2} \right) = 70,5685^\circ$$

$$\varphi_{3 \text{ T30}} = \tan^{-1} \left( \frac{n_y \cdot C_{12} - n_x \cdot S_{12}}{n_x \cdot C_{12} + n_y \cdot S_{12}} \right) = -27,3754^\circ$$

$$H_{4 \text{ T30}} = H_{S \text{ T30}} + L_{0 \text{ T30}} - p_z = 450,1155 \text{ mm}$$

Mit folgenden Winkeldifferenzen  $\Delta\varphi$  und Längendifferenz  $\Delta H_4$

$$\Delta\varphi_1 = \varphi_{1 \text{ T30}} - \varphi_1 = -0,0145^\circ$$

$$\Delta\varphi_2 = \varphi_{2 \text{ T30}} - \varphi_2 = 0,0397^\circ$$

$$\Delta\varphi_3 = \varphi_{3 \text{ T30}} - \varphi_3 = 0,0252^\circ$$

$$\Delta H_4 = H_{4 \text{ T30}} - H_4 = 0,1155 \text{ mm}$$

## Aufgabe 2: JACOBI Matrix

Bestimmen Sie die JACOBI Matrix und berechnen Sie jeweils die 3 Achsmomente in [Nm] in den Antriebsachsen 1, 2, und 3 sowie die benötigte Verschiebekraft in [N] in der Achse 4.

Hierbei wird als Einpresskraft eine im TCP-Koordinatensystem definierte Montagekraft am TCP mit  $f_{TCP} = ({}^{TCP}f_x, {}^{TCP}f_y, {}^{TCP}f_z)^T = (-50N; 25N; 100N)^T$  und ein Montage-Drehmoment  $M_{TCP} = ({}^{TCP}M_x, {}^{TCP}M_y, {}^{TCP}M_z) = (0Nm, 0Nm, 10Nm)$  vorgesehen.

HINWEIS: Umrechnung auf das 0.-Koordinatensystem durch Verwendung der Gesamtrotationsmatrix von  $T$ .

Bestimmen Sie ebenfalls die Positionen, an denen Singularitäten auftreten.

Bestimmung durch geometrische Jacobi-Matrix

Für die Berechnung der Spaltenvektoren  $J$  muss der Gelenktyp bekannt sein.

Rotatorische Achsen:

$$J_{i+1} = \begin{pmatrix} {}^0b_i \times ({}^0p_e - {}^0p_i) \\ {}^0b_i \end{pmatrix}$$

mit  $i = 0, 1, 2, \dots$

Translatorische Achsen:

$$J_{i+1} = \begin{pmatrix} {}^0b_i \\ 0 \end{pmatrix}$$

mit  $i = 0, 1, 2, \dots$

Der Positionsvektor  ${}^0p_e$  lässt sich durch die 4. Spalte des Gesamttransformationsvektor  $T$  auslesen.

$$T = {}^0A_4 = \begin{bmatrix} -C_{123} & -S_{123} & 0 & L_2 \cdot C_{12} + L_1 \cdot C_1 \\ -S_{123} & C_{123} & 0 & L_2 \cdot S_{12} + L_1 \cdot S_1 \\ 0 & 0 & -1 & H_S - H_4 + L_0 \\ 0 & 0 & 0 & 1 \end{bmatrix}$$

$${}^0p_e = \begin{bmatrix} L_2 \cdot C_{12} + L_1 \cdot C_1 \\ L_2 \cdot S_{12} + L_1 \cdot S_1 \\ H_S - H_4 + L_0 \end{bmatrix}$$

Die Vektoren  ${}^0b_i$  und  ${}^0p_i$  ergeben sich für jede Bewegungsachse aus der Vorwärtstransformation der DH-Matrizen. Aus der Einzeltransformationsmatrix  ${}^0A_i$  ergibt sich  ${}^0b_i$  aus der dritten Spalte und  ${}^0p_i$  aus der vierten Spalte.

Betrachtung der einzelnen Achsen:

Achse 0	Achse 1	Achse 2	Achse 3	Achse 4
keine translatorische / rotatorische Achse	rotatorische Achse	rotatorische Achse	rotatorische Achse	translatorische Achse

Für rotatorische Achsen gilt:

$$J_{i+1} = \begin{pmatrix} {}^0b_i \times ({}^0p_e - {}^0p_i) \\ {}^0b_i \end{pmatrix}$$

mit  $i = 0, 1, 2, \dots$

Für translatorische Achsen gilt:

$$J_{i+1} = \begin{pmatrix} {}^0b_i \\ 0 \end{pmatrix}$$

mit  $i = 0, 1, 2, \dots$

### Achse 0:

Diese Achse ist weder translatorisch, noch rotatorisch → Start in **Achse 1**.

### Achse 1:

$$J_1 = \begin{pmatrix} {}^0b_0 \times ({}^0p_e - {}^0p_0) \\ {}^0b_0 \end{pmatrix}$$

Bestimmung des Richtungsvektors  ${}^0b_0$  aus der 3. Spalte der Transformationsmatrix  ${}^0T_1 = {}^0A_1$ .

Bestimmung des Positionsvektors  ${}^0p_0$  aus der 4. Spalte der Transformationsmatrix  ${}^0T_1 = {}^0A_1$ .

$${}^0T_1 = \begin{bmatrix} -1 & 0 & \overset{{}^0b_0}{0} & \overset{{}^0p_0}{0} \\ 0 & -1 & 0 & 0 \\ 0 & 0 & 1 & H_S + L_0 \\ 0 & 0 & 0 & 1 \end{bmatrix} \quad {}^0b_0 = \begin{bmatrix} 0 \\ 0 \\ 1 \end{bmatrix} \quad {}^0p_0 = \begin{bmatrix} 0 \\ 0 \\ H_S + L_0 \end{bmatrix}$$

Jacobi Spaltenvektor:

$$J_1 = \begin{pmatrix} \begin{pmatrix} 0 \\ 0 \\ 1 \end{pmatrix} \times \begin{pmatrix} L_2 \cdot C_{12} + L_1 \cdot c_1 \\ L_2 \cdot S_{12} + L_1 \cdot S_1 \\ -H_4 \end{pmatrix} \\ \begin{pmatrix} 0 \\ 0 \\ 1 \end{pmatrix} \end{pmatrix} = \begin{pmatrix} -L_1 \cdot S_1 - L_2 \cdot S_{12} \\ L_1 \cdot C_1 + L_2 \cdot C_{12} \\ 0 \\ 0 \\ 0 \\ 1 \end{pmatrix}$$

### Achse 2:

$$J_2 = \begin{pmatrix} {}^0b_1 \times ({}^0p_e - {}^0p_1) \\ {}^0b_1 \end{pmatrix}$$

Bestimmung des Richtungsvektors  ${}^0b_1$  aus der 3. Spalte der Transformationsmatrix  ${}^0T_2 = {}^0A_2$ .

Bestimmung des Positionsvektors  ${}^0p_1$  aus der 4. Spalte der Transformationsmatrix  ${}^0T_2 = {}^0A_2$ .

$${}^0T_2 = {}^0A_2 = \begin{bmatrix} C_1 & -S_1 & \boxed{0} & \boxed{L_1 \cdot C_1} \\ S_1 & C_1 & \boxed{0} & \boxed{L_1 \cdot S_1} \\ 0 & 0 & \boxed{1} & \boxed{D_1 + H_S + L_0} \\ 0 & 0 & 0 & 1 \end{bmatrix} \quad {}^0b_1 = \begin{bmatrix} 0 \\ 0 \\ 1 \end{bmatrix} \quad {}^0p_1 = \begin{bmatrix} L_1 \cdot C_1 \\ L_1 \cdot S_1 \\ D_1 + H_S + L_0 \end{bmatrix}$$

Jacobi-Spaltenvektor:

$$J_2 = \begin{pmatrix} \begin{pmatrix} 0 \\ 0 \\ 1 \end{pmatrix} \times \begin{pmatrix} L_2 \cdot C_{12} \\ L_2 \cdot S_{12} \\ -H_4 - D_1 \end{pmatrix} \\ \begin{pmatrix} 0 \\ 0 \\ 1 \end{pmatrix} \end{pmatrix} = \begin{pmatrix} -L_2 \cdot S_{12} \\ L_2 \cdot C_{12} \\ 0 \\ 0 \\ 0 \\ 1 \end{pmatrix}$$

### Achse 3:

$$J_3 = \begin{pmatrix} {}^0b_2 \times ({}^0p_e - {}^0p_2) \\ {}^0b_2 \end{pmatrix}$$

Bestimmung des Richtungsvektors  ${}^0b_2$  aus der 3. Spalte der Transformationsmatrix  ${}^0T_3 = {}^0A_3$ .

Bestimmung des Positionsvektors  ${}^0p_2$  aus der 4. Spalte der Transformationsmatrix  ${}^0T_2 = {}^0A_3$

$${}^0T_3 = {}^0A_3 = \begin{bmatrix} C_{12} & -S_{12} & \boxed{0} & \boxed{L_2 \cdot C_{12} + L_1 \cdot C_1} \\ S_{12} & C_{12} & \boxed{0} & \boxed{L_2 \cdot S_{12} + L_1 \cdot S_1} \\ 0 & 0 & \boxed{1} & \boxed{D_1 + H_S + L_0} \\ 0 & 0 & 0 & 1 \end{bmatrix} \quad {}^0b_2 = \begin{bmatrix} 0 \\ 0 \\ 1 \end{bmatrix} \quad {}^0p_2 = \begin{bmatrix} L_2 \cdot C_{12} + L_1 \cdot C_1 \\ L_2 \cdot S_{12} + L_1 \cdot S_1 \\ D_1 + H_S + L_0 \end{bmatrix}$$

Jacobi-Spaltenvektor:

$$J_3 = \begin{pmatrix} \begin{pmatrix} 0 \\ 0 \\ 1 \end{pmatrix} \times \begin{pmatrix} 0 \\ 0 \\ -H_4 - D_1 \end{pmatrix} \\ \begin{pmatrix} 0 \\ 0 \\ 1 \end{pmatrix} \end{pmatrix} = \begin{pmatrix} 0 \\ 0 \\ 0 \\ 0 \\ 0 \\ 1 \end{pmatrix}$$

**Achse 4:**

$$J_4 = \begin{pmatrix} {}^0b_3 \\ 0 \end{pmatrix}$$

Bestimmung des Richtungsvektors  ${}^0b_3$  aus der 3. Spalte der Transformationsmatrix  ${}^0T_4 = {}^0A_4$ .

$${}^0T_4 = {}^0A_4 = \begin{bmatrix} -C_{123} & -S_{123} & \overset{{}^0b_3}{\boxed{0}} & L_2 \cdot C_{12} + L_1 \cdot C_1 \\ -S_{123} & C_{123} & \boxed{0} & L_2 \cdot S_{12} + L_1 \cdot S_1 \\ 0 & 0 & \boxed{-1} & H_S - H_4 - L_0 \\ 0 & 0 & 0 & 1 \end{bmatrix} \quad {}^0b_3 = \begin{bmatrix} 0 \\ 0 \\ -1 \end{bmatrix}$$

Jacobi-Spaltenvektor:

$$J_4 = \begin{pmatrix} 0 \\ 0 \\ -1 \\ 0 \\ 0 \\ 0 \end{pmatrix}$$

**JACOBI Matrix**

Zusammenfügen der einzelnen Jacobi-Spaltenvektoren für JACOBI-Matrix.

$$J = [J_1 \quad J_2 \quad J_3 \quad J_4] = \begin{bmatrix} -L_1 \cdot S_1 - L_2 \cdot S_{12} & -L_2 \cdot S_{12} & 0 & 0 \\ L_1 \cdot C_1 + L_2 \cdot C_{12} & L_2 \cdot C_{12} & 0 & 0 \\ 0 & 0 & 0 & -1 \\ 0 & 0 & 0 & 0 \\ 0 & 0 & 0 & 0 \\ 1 & 1 & 1 & 0 \end{bmatrix}$$

**Verschiebkräfte und Achsmomente des SCARA Roboters**

Für die Bestimmung der Achsmomente und Verschiebkräfte werden die transponierte JACOBI Matrix und die gegebenen Kraftvektoren benötigt.

Montagekraft:  $f_{TCP} = ({}^{TCP}f_x, {}^{TCP}f_y, {}^{TCP}f_z)^T = (-50N; 25N; 100N)^T$

Montagemomente:  $M_{TCP} = ({}^{TCP}M_x, {}^{TCP}M_y, {}^{TCP}M_z) = (0Nm, 0Nm, 10Nm)$

$$\tau = J^T \cdot {}^0F_4 \quad \text{mit } {}^0F_4 = \begin{bmatrix} {}^{TCP}f_x \\ {}^{TCP}f_y \\ {}^{TCP}f_z \\ {}^{TCP}M_x \\ {}^{TCP}M_y \\ {}^{TCP}M_z \end{bmatrix} = \begin{bmatrix} -50N \\ 25N \\ 100N \\ 0Nm \\ 0Nm \\ 10Nm \end{bmatrix}$$

$$\tau = J^T \cdot {}^0F_4 = \begin{bmatrix} -L_1 \cdot S_1 - L_2 \cdot S_{12} & L_1 \cdot C_1 + L_2 \cdot C_{12} & 0 & 0 & 0 & 1 \\ -L_2 \cdot S_{12} & L_2 \cdot C_{12} & 0 & 0 & 0 & 1 \\ 0 & 0 & 0 & 0 & 0 & 1 \\ 0 & 0 & -1 & 0 & 0 & 0 \end{bmatrix} \cdot \begin{bmatrix} -50N \\ 25N \\ 100N \\ 0Nm \\ 0Nm \\ 10Nm \end{bmatrix}$$

$$\tau = \begin{bmatrix} 25 Nm \\ 21,1173 Nm \\ 10 Nm \\ -100 N \end{bmatrix}$$

$$\tau = \begin{bmatrix} 25 Nm \\ 21,1173 Nm \\ 10 Nm \\ -100 N \end{bmatrix} \begin{array}{l} \longrightarrow \text{Moment 1. Antriebsachse} \\ \longrightarrow \text{Moment 2. Antriebsachse} \\ \longrightarrow \text{Moment 3. Antriebsachse} \\ \longrightarrow \text{Translatorische Kraft 4. Antriebsachse} \end{array}$$

### Positionen, an denen Singularität auftreten:

Singularitäten sind Roboterstellungen, bei denen Verluste von einem oder mehreren Freiheitsgraden auftreten. Bezogen auf die Jacobi-Matrix bedeutet der Verlust von Freiheitsgraden in einer singulären Stellung, dass diese nicht invertiert werden kann. Darüber hinaus werden zwei oder mehr Spalten der Jacobi-Matrix linear abhängig, was einen Rangverlust der Matrix bedeutet.

Bestimmen der Singularitäten durch Nullsetzen der Determinante der JACOBI Matrix.

$$J = \begin{bmatrix} -L_1 \cdot S_1 - L_2 \cdot S_{12} & -L_2 \cdot S_{12} & 0 & 0 \\ L_1 \cdot C_1 + L_2 \cdot C_{12} & L_2 \cdot C_{12} & 0 & 0 \\ 0 & 0 & 0 & -1 \\ 0 & 0 & 0 & 0 \\ 0 & 0 & 0 & 0 \\ 1 & 1 & 1 & 0 \end{bmatrix} \rightarrow \det J = 0$$

$$\begin{aligned} \det J &= L_1 \cdot L_2 \cdot \sin(\varphi_1 + \varphi_2) \cdot \cos(\varphi_1) - L_1 \cdot L_2 \cdot \cos(\varphi_1 + \varphi_2) \cdot \sin(\varphi_1) \\ &= L_1 \cdot L_2 \cdot [\sin(\varphi_1 + \varphi_2) \cdot \cos(\varphi_1) - \cos(\varphi_1 + \varphi_2) \cdot \sin(\varphi_1)] = 0 \end{aligned}$$

Durch Auflösen des Gleichungssystems werden folgende **Singularitäten** geliefert:

$$\varphi_1 = 0^\circ; 90^\circ$$

$$\varphi_2 = 0^\circ; 0^\circ$$



## Aufgabe 3.1: Bewegungsgleichung nach Lagrange

Bestimmen Sie für den oben angegebenen SCARA Roboter die Bewegungsgleichung nach Lagrange.

Die Erdbeschleunigung  $g$  weist entgegen der  $z_0$ -Richtung.

Hierzu werden Matrizen aufgestellt, die Trägheitsmatrix und die Rotationsmatrix

Aufstellung der Trägheitsmatrizen  ${}^iI_i$  in die Gliederschwerpunkte der einzelnen Achsglieder im jeweiligen Gliedkoordinatensystem  $\{i\}$ .

Für die Ermittlung Rotationsmatrizen  $\mathbf{R}$  werden die Transformationsmatrizen  ${}^0T_1$  bis  ${}^0T_4$  benötigt. Dazu werden die Massenträgheitsmomente der Achsen in den Koordinaten des Basiskoordinatensystems  $\{0\}$  ausgedrückt.

$${}^iI_i = \begin{bmatrix} I_{xx} & I_{xy} & I_{xz} \\ I_{yx} & I_{yy} & I_{yz} \\ I_{zx} & I_{zy} & I_{zz} \end{bmatrix} \text{ kg} \cdot \text{m}^2$$

### Achsglied 1:

Trägheitsmatrix :  ${}^1I_1 = \begin{bmatrix} 0,01119974323 & 0 & 0 \\ 0 & 0,04734462207 & 0 \\ 0 & 0 & 0,04321339132 \end{bmatrix} \text{ kg} \cdot \text{m}^2$

Rotationsmatrix:  ${}^0T_2 = \begin{bmatrix} C_1 & -S_1 & 0 \\ S_1 & C_1 & 0 \\ 0 & 0 & 1 \end{bmatrix} \begin{matrix} L_1 \cdot C_1 \\ L_1 \cdot S_1 \\ D_1 + H_S + L_0 \\ 1 \end{matrix}$  wird  ${}^0R_2 = \begin{bmatrix} C_1 & -S_1 & 0 \\ S_1 & C_1 & 0 \\ 0 & 0 & 1 \end{bmatrix}$

### Achsglied 2:

Trägheitsmatrix:  ${}^2I_2 = \begin{bmatrix} 0,00314156124 & 0 & 0 \\ 0 & 0,00667901027 & 0 \\ 0 & 0 & 0,00667901027 \end{bmatrix} \text{ kg} \cdot \text{m}^2$

Rotationsmatrix:  ${}^0T_3 = \begin{bmatrix} C_{12} & -S_{12} & 0 \\ S_{12} & C_{12} & 0 \\ 0 & 0 & 1 \\ 0 & 0 & 0 \end{bmatrix} \begin{matrix} L_2 \cdot C_{12} + L_1 \cdot C_1 \\ L_2 \cdot S_{12} + L_1 \cdot S_1 \\ D_1 + H_S + L_0 \\ 1 \end{matrix}$  wird  ${}^0R_3 = \begin{bmatrix} C_{12} & -S_{12} & 0 \\ S_{12} & C_{12} & 0 \\ 0 & 0 & 1 \end{bmatrix}$

**Achsglied 3 und 4 mit Greifer  $H_4 = 450\text{mm}$ :**

Trägheitsmatrix:  ${}^3I_3 = \begin{bmatrix} 0,53619227817 & 0 & 0 \\ 0 & 0,53619227817 & 0 \\ 0 & 0 & 0,01064214511 \end{bmatrix} \text{kg} \cdot \text{m}^2$

Rotationsmatrix:  ${}^0T_4 = \begin{bmatrix} -C_{123} & -S_{123} & 0 \\ -S_{123} & C_{123} & 0 \\ 0 & 0 & -1 \\ 0 & 0 & 0 \end{bmatrix} \begin{matrix} L_2 \cdot C_{12} + L_1 \cdot C_1 \\ L_2 \cdot S_{12} + L_1 \cdot S_1 \\ H_S - H_4 - L_0 \\ 1 \end{matrix}$  wird

$${}^0R_4 = \begin{bmatrix} -C_{123} & -S_{123} & 0 \\ -S_{123} & C_{123} & 0 \\ 0 & 0 & -1 \end{bmatrix}$$

Die Trägheitsmomente der einzelnen Glieder lautet die Transformationsbeziehung:

$$\text{Allgemein: } {}^0I_i = {}^0R_i \cdot {}^iI_i \cdot {}^0R_i^T$$

**Massenträgheitsmoment Achsglied 1:**

$${}^0I_1 = {}^0R_2 \cdot {}^1I_1 \cdot {}^0R_2^T$$

$${}^0I_1 = \begin{bmatrix} C_1 & -S_1 & 0 \\ S_1 & C_1 & 0 \\ 0 & 0 & 1 \end{bmatrix} \cdot \begin{bmatrix} 0,01119974323 & 0 & 0 \\ 0 & 0,04734462207 & 0 \\ 0 & 0 & 0,04321339132 \end{bmatrix} \text{kg} \cdot \text{m}^2$$

$$\cdot \begin{bmatrix} C_1 & S_1 & 0 \\ -S_1 & C_1 & 0 \\ 0 & 0 & 1 \end{bmatrix}$$

**Massenträgheitsmoment Achsglied 2:**

$${}^0I_2 = {}^0R_3 \cdot {}^2I_2 \cdot {}^0R_3^T$$

$${}^0I_2 = \begin{bmatrix} S_{12} & -S_{12} & 0 \\ S_{12} & C_{12} & 0 \\ 0 & 0 & 1 \end{bmatrix} \cdot \begin{bmatrix} 0,00314156124 & 0 & 0 \\ 0 & 0,00667901027 & 0 \\ 0 & 0 & 0,00667901027 \end{bmatrix} \text{kg} \cdot \text{m}^2$$

$$\cdot \begin{bmatrix} C_{12} & S_{12} & 0 \\ -S_{12} & C_{12} & 0 \\ 0 & 0 & 1 \end{bmatrix}$$

### Massenträgheitsmoment Achsglied 3 und 4 mit Greifer:

$${}^0I_3 = {}^0R_4 \cdot {}^3I_3 \cdot {}^0R_4^T$$

$${}^0I_3 = \begin{bmatrix} -C_{123} & -S_{123} & 0 \\ -S_{123} & C_{123} & 0 \\ 0 & 0 & -1 \end{bmatrix} \cdot \begin{bmatrix} 0,53619227817 & 0 & 0 \\ 0 & 0,53619227817 & 0 \\ 0 & 0 & 0,01064214511 \end{bmatrix} \text{ kg} \cdot \text{m}^2$$

$$\cdot \begin{bmatrix} -C_{123} & -S_{123} & 0 \\ -S_{123} & C_{123} & 0 \\ 0 & 0 & -1 \end{bmatrix}$$

Der nächste Schritt ist die Erstellung der translatorischen Unter-JACOBI-Matrizen. Dazu werden die einzelnen Schwerpunkte der Achsen, bezogen auf das Basiskoordinatensystem  $\{0\}$  benötigt.

Der Schwerpunktvektor  ${}^0r_{is}$  beschreibt den Ortsvektor zum Schwerpunkt  $S_i$  von Achse  $i$  in den Koordinaten von  $\{0\}$ .

Anmerkung: Folgende Schwerpunkte beziehen sich auf das Basiskoordinatensystem  $\{0\}$ .

$Z_3$  ist der Abstand des Schwerpunkts von KS 3.

### Schwerpunkt Achsglied 1

$${}^0r_{1s} = \begin{bmatrix} 0,20342 \cdot C_1 \\ 0,20342 \cdot S_1 \\ L_0 + H_S + 0,02158 \end{bmatrix} = \begin{bmatrix} 0,20342 \cdot C_1 \\ 0,20342 \cdot S_1 \\ 0,52158 \end{bmatrix}$$

### Schwerpunkt Achsglied 2:

$${}^0r_{2s} = \begin{bmatrix} L_1 \cdot C_1 + \frac{L_2}{2} \cdot C_{12} \\ L_1 \cdot S_1 + \frac{L_2}{2} \cdot S_{12} \\ L_0 + H_S + D_1 \end{bmatrix} = \begin{bmatrix} L_1 \cdot C_1 + \frac{L_2}{2} \cdot C_{12} \\ L_1 \cdot S_1 + \frac{L_2}{2} \cdot S_{12} \\ 0,65 \end{bmatrix}$$

### Schwerpunkt Achsglied 3 und 4 mit Greifer

$${}^0r_{3s} = \begin{bmatrix} L_1 \cdot C_1 + L_2 \cdot C_{12} \\ L_1 \cdot S_1 + L_2 \cdot S_{12} \\ L_0 + H_S + D_1 - Z_3 \end{bmatrix}$$

Der allgemeine Aufbau der translatorischen Unter-JACOBI-Matrix von Glied  $i$  lautet (Differenzieren des Schwerpunktsvektors  ${}^0\mathbf{r}_{is}$  nach  $\varphi_1, \varphi_2, \varphi_3, Z_3$ ):

$$J_{Ti} = \begin{bmatrix} \frac{\partial {}^0r_{is,x}}{\partial \varphi_1} & \frac{\partial {}^0r_{is,x}}{\partial \varphi_2} & \frac{\partial {}^0r_{is,x}}{\partial \varphi_3} & \frac{\partial {}^0r_{is,x}}{\partial Z_3} \\ \frac{\partial {}^0r_{is,y}}{\partial \varphi_1} & \frac{\partial {}^0r_{is,y}}{\partial \varphi_2} & \frac{\partial {}^0r_{is,y}}{\partial \varphi_3} & \frac{\partial {}^0r_{is,y}}{\partial Z_3} \\ \frac{\partial {}^0r_{is,z}}{\partial \varphi_1} & \frac{\partial {}^0r_{is,z}}{\partial \varphi_2} & \frac{\partial {}^0r_{is,z}}{\partial \varphi_3} & \frac{\partial {}^0r_{is,z}}{\partial Z_3} \end{bmatrix}$$

**Translatorische Unter-JACOBI-Matrix Achsglied 1:**

$$J_{T1} = \begin{bmatrix} -0,20342 \cdot S_1 & 0 & 0 & 0 \\ 0,20342 \cdot c_1 & 0 & 0 & 0 \\ 0 & 0 & 0 & 0 \end{bmatrix}$$

**Translatorische Unter-JACOBI-Matrix Achsglied 2:**

$$J_{T2} = \begin{bmatrix} -\frac{L_2 \cdot S_{12}}{2} - L_1 \cdot S_1 & -\frac{L_2 \cdot S_{12}}{2} & 0 & 0 \\ \frac{L_2 \cdot S_{12}}{2} + L_1 \cdot C_1 & \frac{L_2 \cdot C_{12}}{2} & 0 & 0 \\ 0 & 0 & 0 & 0 \end{bmatrix}$$

**Translatorische Unter-JACOBI-Matrix Achsglied 3:**

$$J_{T3} = \begin{bmatrix} -L_2 \cdot S_{12} - L_1 \cdot S_1 & -L_2 \cdot S_{12} & 0 & 0 \\ L_2 \cdot C_{12} + L_1 \cdot C_1 & L_2 \cdot C_{12} & 0 & 0 \\ 0 & 0 & 0 & -1 \end{bmatrix}$$

Für die rotatorischen Unter-JACOBI-Matrizen werden für die einzelnen Achsen die Winkelgeschwindigkeiten benötigt. Anschließend können durch Differenzieren der Winkelgeschwindigkeitsvektoren die rotatorischen Unter-JACOBI-Matrizen  $J_{Ri}$  gebildet werden.

$$\omega_1 = \begin{bmatrix} 0 \\ 0 \\ \dot{\varphi}_1 \end{bmatrix}$$

$$\omega_2 = \begin{bmatrix} 0 \\ 0 \\ \dot{\varphi}_1 + \dot{\varphi}_2 \end{bmatrix}$$

$$\omega_3 = \begin{bmatrix} 0 \\ 0 \\ \dot{\varphi}_1 + \dot{\varphi}_2 + \dot{\varphi}_3 \end{bmatrix}$$

$$J_{Ri} = \frac{\partial \boldsymbol{\omega}_i}{\partial \dot{\mathbf{q}}} = \begin{bmatrix} \frac{\partial \omega_{i,1}}{\partial \dot{\phi}_1} & \frac{\partial \omega_{i,1}}{\partial \dot{\phi}_2} & \frac{\partial \omega_{i,1}}{\partial \dot{\phi}_3} \\ \frac{\partial \omega_{i,2}}{\partial \dot{\phi}_1} & \frac{\partial \omega_{i,2}}{\partial \dot{\phi}_2} & \frac{\partial \omega_{i,2}}{\partial \dot{\phi}_3} \\ \frac{\partial \omega_{i,3}}{\partial \dot{\phi}_1} & \frac{\partial \omega_{i,3}}{\partial \dot{\phi}_2} & \frac{\partial \omega_{i,3}}{\partial \dot{\phi}_3} \end{bmatrix}$$

Damit ergeben sich dann folgende Matrizen:

**Rotatorische Unter-Jacobi-Matrix Achsglied 1:**

$$J_{R1} = \begin{bmatrix} 0 & 0 & 0 & 0 \\ 0 & 0 & 0 & 0 \\ 1 & 0 & 0 & 0 \end{bmatrix}$$

**Rotatorische Unter-Jacobi-Matrix Achsglied 2:**

$$J_{R2} = \begin{bmatrix} 0 & 0 & 0 & 0 \\ 0 & 0 & 0 & 0 \\ 1 & 1 & 0 & 0 \end{bmatrix}$$

**Rotatorische Unter-Jacobi-Matrix Achsglied 3:**

$$J_{R3} = \begin{bmatrix} 0 & 0 & 0 & 0 \\ 0 & 0 & 0 & 0 \\ 1 & 1 & 1 & 0 \end{bmatrix}$$

Für das Aufstellen der kinetischen Energie  $E_{Kin}$  des Roboters, muss die Roboterträgheitsmatrix  $\mathbf{M}$  bestimmt werden.

$$\mathbf{M} = \sum_{i=1}^n (J_{Ti}^T \cdot m_i \cdot J_{Ti} + J_{Ri}^T \cdot {}^0I_i \cdot J_{Ri}) \quad \text{mit } n = \text{Achsanzahl (hier 3)}$$

$$m_1 = 3,4481 \text{ kg}$$

$$m_2 = 1,53247 \text{ kg}$$

$$m_3 = 135137 \text{ kg}$$

**Roboterträgheitsmatrix Achsglied 1:**

$$\mathbf{M}_1 = \begin{bmatrix} 0,1859 & 0 & 0 & 0 \\ 0 & 0 & 0 & 0 \\ 0 & 0 & 0 & 0 \\ 0 & 0 & 0 & 0 \end{bmatrix} \quad \text{mit } m_1$$

**Roboterträgheitsmatrix Achsglied 2:**

$$\mathbf{M}_2 = \begin{bmatrix} 0,1906 & 0,0373 & 0 & 0 \\ 0,0373 & 0,0220 & 0 & 0 \\ 0 & 0 & 0 & 0 \\ 0 & 0 & 0 & 0 \end{bmatrix} \quad \text{mit } m_2$$

**Roboterträgheitsmatrix Achsglied 3:**

$$\mathbf{M}_3 = \begin{bmatrix} 2,6844 & 0,8588 & 0,0106 & 0 \\ 0,8588 & 0,5732 & 0,0106 & 0 \\ 0,0106 & 0,0106 & 0,0106 & 0 \\ 0 & 0 & 0 & 13,5137 \end{bmatrix} \quad \text{mit } m_3$$

**Gesamte Roboterträgheitsmatrix M:**

$$\mathbf{M} = \sum_{i=1}^n \mathbf{M}_i = \mathbf{M}_1 + \mathbf{M}_2 + \mathbf{M}_3 = \begin{bmatrix} 2,3813 & 0,7072 & 0,0106 & 0 \\ 0,7072 & 0,5732 & 0,0106 & 0 \\ 0,0106 & 0,0106 & 0,0106 & 0 \\ 0 & 0 & 0 & 13,5137 \end{bmatrix}$$

Nachdem die Roboterträgheitsmatrix  $\mathbf{M}$  bestimmt wurde, kann die kinetische Energie  $E_{kin}$  und potentielle Energie  $E_{pot}$  des Roboters berechnet werden.

$$E_{kin} = \frac{1}{2} \cdot (\dot{\phi}_1 \quad \dot{\phi}_2 \quad \dot{\phi}_3 \quad \dot{Z}_3) \cdot \mathbf{M} \begin{pmatrix} \dot{\phi}_1 \\ \dot{\phi}_2 \\ \dot{\phi}_3 \\ \dot{Z}_3 \end{pmatrix}$$

$$E_{pot} = - \sum_{i=1}^n m_i \cdot (0 \quad 0 \quad -g) \cdot \begin{pmatrix} {}^0r_{is,x} \\ {}^0r_{is,y} \\ {}^0r_{is,z} \end{pmatrix}$$

Dadurch erhält man die Lagrange-Funktion:

$$L = E_{kin} - E_{pot}$$

$$\begin{aligned}
 L &= E_{kin} - E_{pot} \\
 &= 132,5696 \cdot \dot{Z}_3 + 0,8568 \cdot \dot{\varphi}_1^2 C_2 + 0,5732 \cdot \dot{\varphi}_1 \dot{\varphi}_2 + 0,0106 \cdot \dot{\varphi}_1 \dot{\varphi}_3 + 0,0106 \\
 &\quad \cdot \dot{\varphi}_2 \dot{\varphi}_3 + 1,0558 \cdot \dot{\varphi}_1^2 + 0,2866 \cdot \dot{\varphi}_2^2 + 0,0053 \cdot \dot{\varphi}_3^2 + 6,7569 \cdot \dot{Z}_3^2 \\
 &\quad + 0,8568 \cdot \dot{\varphi}_1 \dot{\varphi}_2 C_2 - 113,5847
 \end{aligned}$$

Die Lagrange-Gleichungen  $Q_i$  ergibt sich aus dem Differenzieren nach  $\varphi_1, \varphi_2, \varphi_3, \dot{Z}_3$  und anschließend Differenzieren nach der Zeit  $t$ . Zusätzlich Differenzieren nach  $\varphi_1, \varphi_2, \varphi_3, Z_3$ .

$$\frac{d}{dt} \left( \frac{\partial L}{\partial \dot{\varphi}_i} \right) - \left( \frac{\partial L}{\partial \varphi_i} \right) = Q_i$$

#### **Bewegungsgleichung Achsglied 1:**

$$\frac{d}{dt} \left( \frac{\partial L}{\partial \dot{\varphi}_1} \right) - \left( \frac{\partial L}{\partial \varphi_1} \right) = \tau_1$$

$$\begin{aligned}
 \tau_1 &= 2,1132 \cdot \ddot{\varphi}_1 + 0,5732 \cdot \ddot{\varphi}_2 + 0,0106 \cdot \ddot{\varphi}_3 + 1,7136 \cdot \ddot{\varphi}_1 C_2 + 0,8568 \cdot \ddot{\varphi}_2 C_2 - 1,7136 \\
 &\quad \cdot \dot{\varphi}_1 \dot{\varphi}_2 S_2 - 0,8568 \cdot \dot{\varphi}_2^2 S_2
 \end{aligned}$$

#### **Bewegungsgleichung Achsglied 2:**

$$\frac{d}{dt} \left( \frac{\partial L}{\partial \dot{\varphi}_2} \right) - \left( \frac{\partial L}{\partial \varphi_2} \right) = \tau_2$$

$$\begin{aligned}
 \tau_2 &= 0,5732 \cdot \ddot{\varphi}_1 + 0,5732 \cdot \ddot{\varphi}_2 + 0,0106 \cdot \ddot{\varphi}_3 + 0,8568 \cdot \ddot{\varphi}_1 C_2 + 0,8568 \cdot \dot{\varphi}_1^2 S_2 + 0,8568 \\
 &\quad \cdot \dot{\varphi}_1 \dot{\varphi}_2 S_2 - 0,8568 \cdot \dot{\varphi}_1 \dot{\varphi}_2 S_2
 \end{aligned}$$

#### **Bewegungsgleichung Achsglied 3:**

$$\frac{d}{dt} \left( \frac{\partial L}{\partial \dot{\varphi}_3} \right) - \left( \frac{\partial L}{\partial \varphi_3} \right) = \tau_3$$

$$\tau_3 = 0,0106 \cdot \ddot{\varphi}_1 + 0,0106 \cdot \ddot{\varphi}_2 + 0,0106 \cdot \ddot{\varphi}_3$$

#### **Bewegungsgleichung Achsglied 4:**

$$\tau_4 = \frac{d}{dt} \left( \frac{\partial L}{\partial \dot{Z}_3} \right) - \left( \frac{\partial L}{\partial Z_3} \right)$$

$$\tau_4 = 13,5137 \cdot \ddot{Z}_3 - 132,5696$$

Mit folgender Formel kann die Gesamtbewegungsgleichung  $Q$  unter Berücksichtigung der Einpresskraft und Montagekraft ermittelt werden ( $FM_{TCP}$  = gegebene Montagekraft – und Moment):

$$Q = \tau + FM_{TCP}^T \cdot J$$

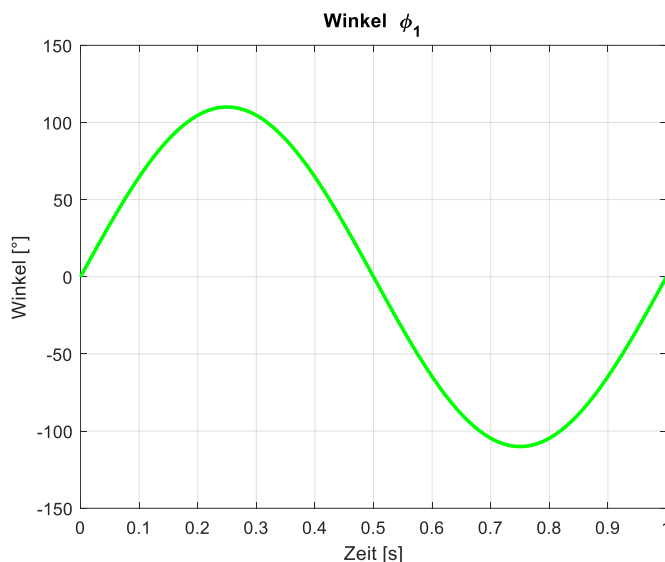


## Aufgabe 3.2: Bewegungsverhalten mit Hilfe von Simulink

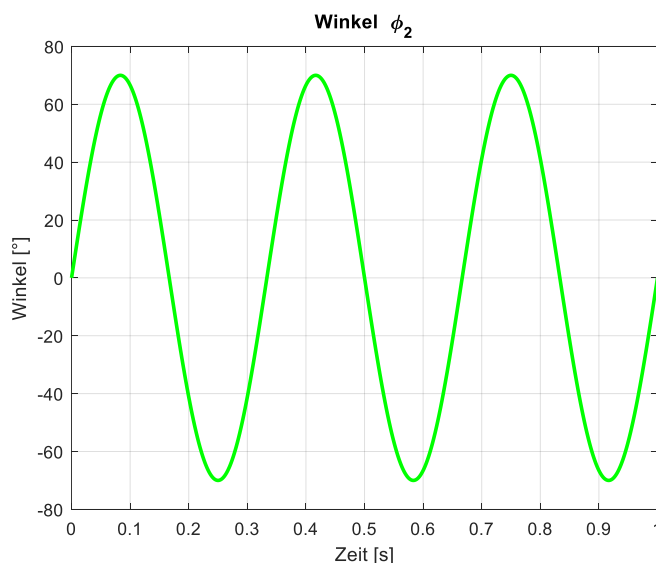
Simulieren Sie mit Hilfe von MATLAB das Bewegungsverhalten am TCP nach dem Einpress-/Fügevorgang, indem der Greifer schlagartig (sprungförmig) geöffnet wird (d.h. die äußere Kraft- und Momenteneinwirkung sprunghaft auf Null gehen).

Zeichnen Sie das Schwingverhalten des TCP in Bezug zum Grundkoordinatensystem  $x_0, y_0$  und  $z_0$ .

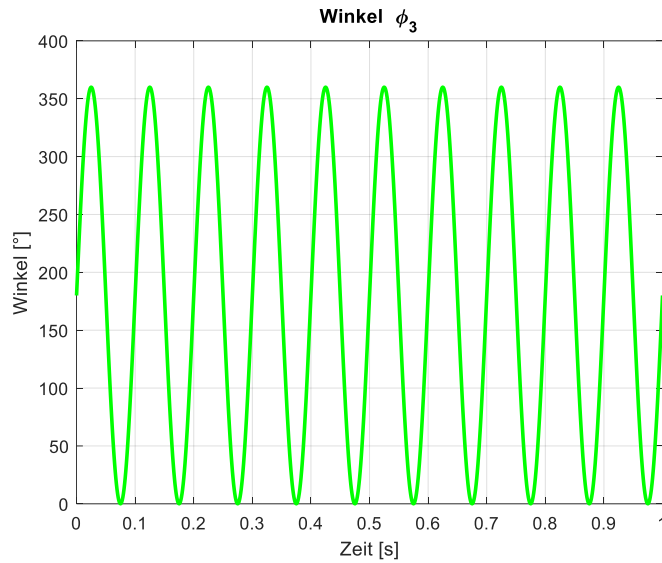
Die folgenden Diagramme zeigen das Schwingverhalten der Achswinkel  $\phi_1, \phi_2, \phi_3$  und Weg  $H_4$ .



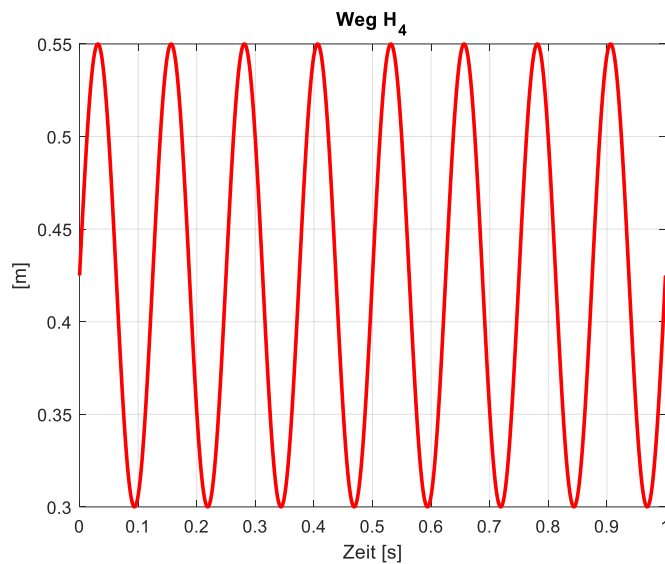
Der Winkel  $\phi_1$  an der Achse 1 fängt an zu Schwingen über einen Zeitraum von 1s. Dabei wiederholt sich die Schwingung nur 1 (1T) mal in 1s. Die Auswirkung des Einpress/Fügevorgang hat einen leichten Einfluss auf die Achse 1, da die Achse 1 nah am Fuß des Roboters ist.



Der Winkel  $\phi_2$  an der Achse 2 fängt stärker an zu Schwingen über einen Zeitraum von 1s als Achse 1. Die Wiederholung der Schwingung ist dabei 3mal zu hoch (3T), jedoch ist die Amplitude kleiner als bei Achse 1. Die Auswirkung des Einpress/Fügevorgang hat einen größeren Einfluss auf die Achse 2.



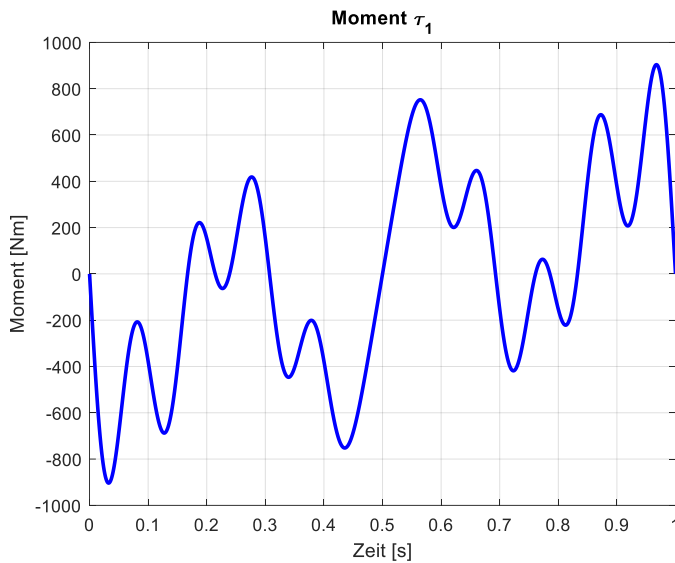
Der Winkel  $\phi_3$  an der Achse 3 fängt stark an zu Schwingen über einen Zeitraum von 1s. Die Wiederholung der Schwingung ist dabei 10T. Die Auswirkung des Einpress/Fügevorgang hat einen direkten Einfluss auf die Achse 3, da der Greifer sich auf derselben Achse befinden.



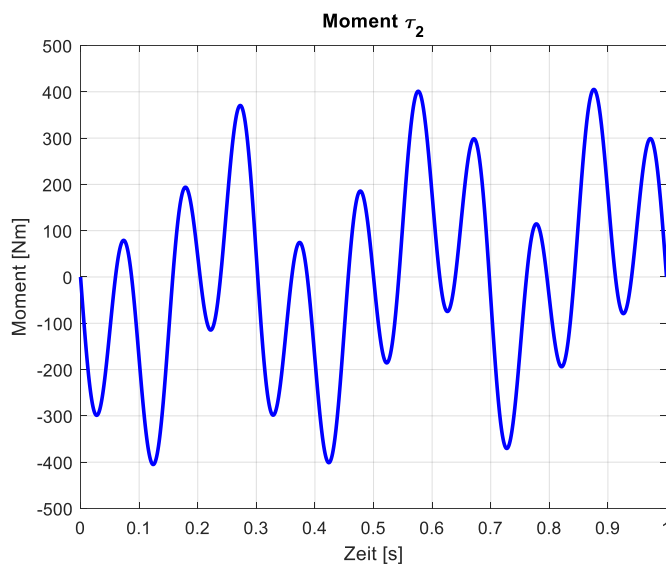
Wie auch in Achse 3 hat. der Einpress/Fügevorgang hat einen direkten Einfluss auf die Länge der Achse. Die Höhe  $H_4$  variiert dabei zwischen 0,3 und 0,55m. Die Periode beträgt dabei 8T in 1s.

Die folgenden Diagramme zeigen das Schwingverhalten der Achsmomente  $\tau_1, \tau_2, \tau_3$  und Kraft

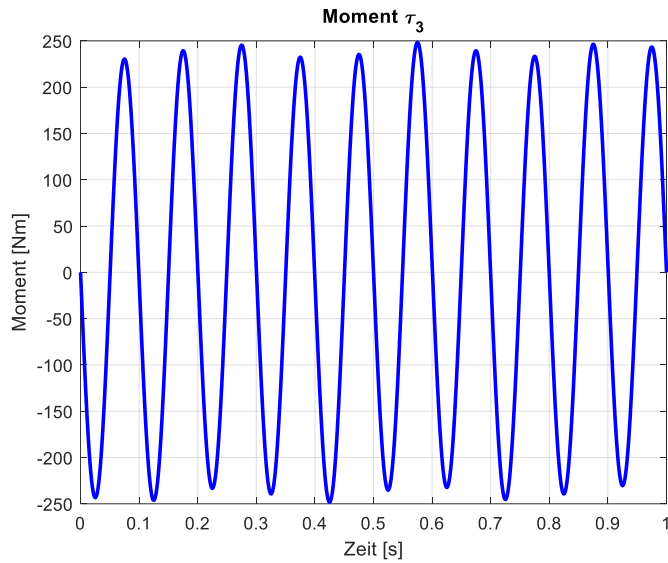
$F_4$



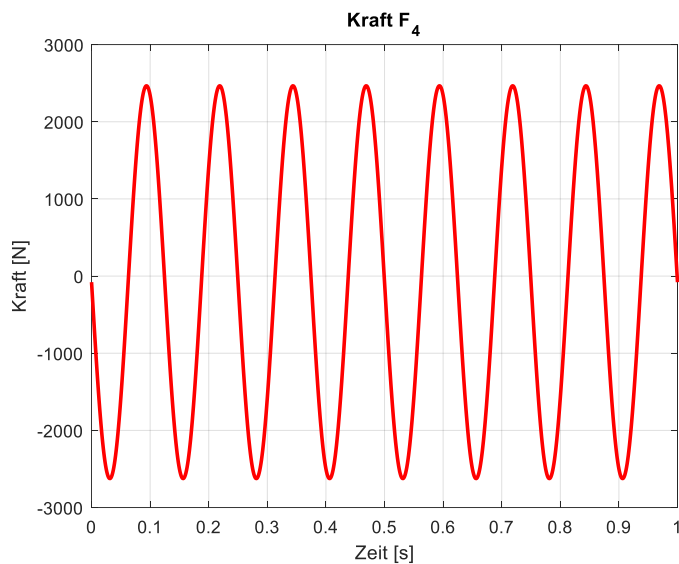
Das Moment  $\tau_1$  zeigt eine Schwingung mit ungleichmäßigen Amplituden in einer Periode. Dabei beziehen sich die Werte auf die Achse 1. Die Periode beträgt hier  $3T$  in 1s. Zu sehen ist ein langsamer Anstieg des Moments in einer Richtung mit gleichzeitigem Abnehmens des Moments in der entgegengesetzten Richtung.



Auch das Moment  $\tau_2$  zeigt eine Schwingung mit ungleichmäßigen Amplituden in einer Periode. Dabei beziehen sich die Werte auf die Achse 2. Die Periode ist nochmal enger als bei Achse 1. Auch hier ist zu sehen, dass es ein langsamer Anstieg des Moments in einer Richtung mit gleichzeitigem Abnehmens des Moments in der entgegengesetzten Richtung stattfindet, jedoch findet eine kleine Einpendlung schon nach der 1. Periode statt. Die Amplitude ist im Vergleich zum Moment  $\tau_1$  in der Amplitude kleiner.



Das Moment  $\tau_3$  zeigt eine Schwingung mit gleichmäßigen Amplituden. Dabei beziehen sich die Werte auf die Achse 3. Die Periode beträgt hier 10T in 1s. Zu sehen ist ein relativ gleiches Moment in beide vektoriellen Richtungen. Der Wert schwingt dabei um die Spitzenwerte  $\pm 250 Nm$ .



Die Kraft  $F_4$  schwingt harmonisch in einem Zeitraum von 1s. Die Spitzenwerte betragen dabei  $\pm 2600 N$ . Die ist die Kraft an der Achse 4. Die Periode beträgt 8T in 1s.